

인체 췌장암세포주(Capan-1)의 증식에 미치는 amiloride의 억제효과

임대관, 김신, 김유리, 노지훈, 이지현, 김지연, 박무인, 정근옥*, 박건영*, 구자영

고신대학교 의과대학 내과학 교실, 부산대학교 식품영양학과 *

The Effect of amiloride on the Growth of Pancreatic Cancer Cells

Dae Kawn Lim, Sin Kim, Yu-Ri Kim, Gi Hun Noh, Jee Hyun Lee, Jee Yeon kim,
Moo In Park, Kun Ok Chung, PhD.* Kun young Park, PhD.* Ja Young Koo

Department of Internal Medicine, Kosin University College of Medicine, Busan, Korea

* Department of Food & Nutrition, Busan National University, Busan, Korea

Abstract

Backgrounds/Aims Cytoplasmic alkalinization induced by activation of the Na⁺/H⁺-antiporter which is stimulated upon the addition of growth-promoting agents, such as insulin, epidermal growth factor, phorbol ester, plays an essential role in the initiation on cell proliferation. In the present study the effects of amiloride, a specific and reversible inhibitor of Na⁺/H⁺-antiporter, on the growth of human pancreatic carcinoma cell line, Capan-1 cells was examined and the effects of 5-fluorouracil(5-FU) were also studied. Cell cycle analysis was done to examine the mechanisms for the inhibitory effects of amiloride. **Materials/Methods** The growth of Capan-1 cells were examined by counting cell number on two and four days treatment with 1 μM, 5 μM, 10 μM, 20 μM, 40 μM, 80 μM, 160 μM amiloride, and 0.1 μg/ml, 0.3 μg/ml 5-FU, after plating Capan-1 cells into 35-mm² plastic dishes at a density of 10×10⁴ cells/dish. The reversibility of the effects of amiloride was examined on two day to eight days treatment with 20 μM amiloride after seeding 2×10⁴ cells/ dish. Cell cycle analysis was done on the cells after four days treatment with 20 μM amiloride. **Results** Amiloride significantly inhibited the growth of Capan-1 cells in a dose-dependent fashion ($p<0.05$). The inhibitory effect of amiloride on the growth of Capan-1 cells was firstly shown at the concentration of 5 μM, which is not so higher than the concentration of 0.1-0.2 μM attainable by administration of usual dose of amiloride (5-10mg). Forty-eight percent inhibition of growth was found at an amiloride concentration of 20 μM after 4 days treatment, and ninety-three percent inhibition of growth was found at an amiloride concentration of 160 μM after 4 days treatment. The inhibitory effect of amiloride on growth of Capan-1 cells was reversible since removal of amiloride by a media change after 48 hours treatment lead to significantly more growth than amiloride treated group ($p<0.05$). The reversibility of growth inhibition suggests that amiloride is not a non-specific cytotoxin for Capan-1 cells. Amiloride combined with 5-FU significantly inhibited the growth of Capan-1 cells in a dose-dependent fashion compared to an amiloride or a 5-FU alone ($p<0.05$). After four days treatment with 20 μM amiloride, the fraction of cells in G0-G1 phase, S phase and G2-M phase was 47.3%, 35.8%, 16.9% respectively in the amiloride group (20 μM), and 44.3%, 37.1%, 18.6% in the control group, showing no significant differences between the two groups. **Conclusions** Amiloride significantly inhibited the growth of Capan-1 cells in a dose-dependent fashion, which was reversible. The reversibility of growth inhibition suggests that amiloride is not a non-specific cytotoxin for Capan-1 cells. The concentration of 5μM, which is not so higher than the concentration of 0.1-0.2 μM attainable by administration of usual dose of amiloride (5-10mg), which suggests amiloride or its analogues may be used alone or in conjunction with 5-FU for the treatment of pancreatic carcinoma. Further study is needed to clarify the effects of more potent analogues of amiloride on the growth of human pancreatic carcinoma cells.

Key words : Amiloride, 5-FU, human pancreatic carcinoma cells (Capan-1)

서 론

교신저자 : 구자영
주소 : 부산시 서구 암남동 34번지 고신대학교 복음병원
내과학 교실(602-702)
전화 : 051-990-6103 Fax : 051-248-5686
E-mail : jyko@ns.kosinmed.or.kr

췌장암은 구미에서는 상당히 흔한 암으로서 미국의 경우 암 사망원인으로서 남자에서는 4번째, 여자에서는

* 이 논문은 고신대학교 의과대학 연구비 일부 지원에 의해서 연구되었음.

인체 췌장암세포주(Capan-1)의 증식에 미치는 amiloride의 억제효과

5번째를 차지할 정도로 흔하며¹⁾, 최근 우리나라에서도 증가하는 경향을 보이고 있다. 췌장암은 조기진단이 어려워서 진단시에 이미 병이 많이 진행되어 있어서 수술로서 완치가 불가능한 경우가 많고, 이러한 경우에는 항암치료나 방사선치료등을 시도하지만 그 효과가 좋지 않고 부작용 또한 적지 않아서 만족할 만한 치료법이 되지는 못한다.

따라서 이러한 항암제와 작용기전이 다르면서도 병용투여시에 항암제의 부작용을 줄이거나 항암제의 효과를 증강시킴으로써 그 치료효과를 높일 수 있는 약물들에 대한 연구는 매우 바람직하며 또한 필요한 실정인데, 이러한 약물들중의 하나로서 포유류의 여러 동물들의 세포막에 존재하는 Na^+/H^+ antiporter를 억제하는 작용을 가진 amiloride를 들 수 있다. 이 약물은 1983년 Sparks 등²⁾에 의해서 처음으로 쥐에서 DMA/J 유선암과 H6 간암의 증식을 억제하는 것으로 밝혀졌다. 또한 실험실에서 배양된 섬유아세포에 있어서 amiloride 및 이와 동일한 기전을 가진 다른 약물들에 의해서 Na^+/H^+ antiporter가 불활성화되면 그 증식이 억제된다³⁻⁵⁾는 사실이 알려짐으로써, 암의 치료에 사용될 수 있을 가능성성이 제기되었다.⁶⁾

그 후 amiloride의 인체암에 대한 증식억제 효과에 대해서 1990년 Koo 등^{7,8)}이 처음으로 실험실배양 연구에서 amiloride가 인체 대장암세포(HT-29)의 증식을 농도에 비례하여 억제하며, 그 억제 작용은 가역성임을 밝혔다. 또한 이 억제의 기전으로서 ornithine decarboxylase(ODC) 활성도의 억제 및 polyamine 합성의 억제가 관여하고, 이러한 면에서 amiloride가 항암제로서 유용할 것으로 보고하였다. 그리고 Delvaux 등⁹⁾은 amiloride 및 그 유사체가 췌장선와세포주인 AR42J세포에서 Na^+/H^+ antiporter의 작용을 억제하는 동일 농도에서 세포의 증식도 억제함을 보고하였고, Tatsuta 등¹⁰⁾은 amiloride투여가 azaserine의 쥐 췌장암의 발암 작용을 억제하였다고 하였는데, amiloride의 이러한 작용은 실험적으로 유발된 쥐 췌장암 조직의 세포 증식을 억제하여 나타나는 것 같다고 하였다. 그 후에도 여러 종류의 생체 혹은 배양된 세포에서 amiloride가 종양의 증식이나 전이를 억제하거나 종양의 발생을 줄이는 것으로 알려져 왔지만^{11,12)} 지금까지 국내외적으로 인체의 췌장암에 대한

amiloride의 효과를 연구한 보고는 없다.

이에 본 연구에서는 이러한 Na^+/H^+ antiporter의 억제약물인 amiloride가 췌장암의 치료에 도움이 될지를 좀 더 자세히 구명하기 위해 세포배양실험을 통하여 amiloride가 인체 췌장암세포의 증식에 미치는 효과를 조사하고, 기존의 항암제 5-fluorouracil(5-FU)과의 병용효과를 조사하였다. 그리고 또한 amiloride의 작용 기전을 좀 더 자세히 구명하기 위해서 증식억제에 따르는 각 세포주기별 비율을 flow cytometry를 이용하여 분석하였다.

재료 및 방법

1. 재료

amiloride, 5-FU 및 DMSO(dimethyl sulfoxide)는 Sigma 회사(St. Louis, MO, USA)에서 구입하였고, RPMI 1640, fetal bovine serum(FBS), 0.05% trypsin-0.02% EDTA 그리고 100 units/ml penicillin-streptomycin은 GIBCO사(USA)로부터 구입하여 사용하였다. amiloride는 amiloride는 실험할 때에 DMSO용액에 녹여서 바로 사용하였고, 5-FU는 PBS에 녹여 바로 사용하였다.

2. 세포 배양

Capan-1 세포는 한국세포주은행으로부터 분양받아 배양하면서 실험에 사용하였고, 세포배양은 CO_2 incubator(Sanyo, model MCO96, Japan)를 사용하였다. Capan-1 세포는 100 units/ml의 penicillin-streptomycin과 15%의 FBS가 함유된 RPMI 1640을 사용하여 37°C, 5% CO_2 incubator에서 배양하였다. 배양된 각각의 암세포는 일주일에 2~3회 새로운 배지로 갈아 주고, 6~7일 만에 PBS로 세척한 후 0.05% trypsin-0.02% EDTA로 부착된 세포를 분리하였다. 분리된 세포를 원심분리하여 집적된 암세포에 배지를 넣고 피펫으로 암세포가 골고루 분산되도록 잘 혼합하여 6~7일 마다 분주하여 계대 배양하면서 실험에 사용하였다. 계대 배양시 각각의 passage number를 기록하였고 passage number가 10회 이상일 때는 새로운 암세포를 액체질소 탱크로부터 꺼내어 다시 배양하여 실험하였다.

3. amiloride의 Capan-1 세포 증식 억제 효과

증식기에 있는 Capan-1 세포를 PBS로 세척한 후 0.05% trypsin-0.02% EDTA로 부착된 세포를 분리하여 원심분리한 후 집적된 세포를 골고루 분산되도록 잘 혼합하여 6 well plate에 10×10^4 cells/well의 농도로 분주하여 24시간 배양하였다. 암세포가 plate에 부착되었음을 확인한 후, 10% FBS가 있는 배지에 1 μM , 5 μM , 10 μM , 20 μM , 40 μM , 80 μM , 160 μM 의 농도로 amiloride 10 μl 를 각각 3 well에 첨가하고(triplicate), 37°C, 5% CO₂ incubator에서 배양하였다. 부착세포는 시료처리한 날로부터 2일 및 4일 후에, 증식된 세포를 0.05% trypsin-0.02% EDTA로 분리하여 EDTA로 분리하여 각 세포 수를 hemocytometer로 측정하였으며, 이 때 세포의 생존여부는 tryphan blue 염색으로 확인하였고, 그렇게 측정된 세포 수를 0.4% DMSO 용액만을 첨가한 대조군의 세포 수와 비교하여 암세포 증식 억제효과를 관찰하였다.

4. amiloride의 Capan-1 세포 증식 억제 효과의 가역성

amiloride가 Capan-1세포에 미치는 증식억제작용의 가역성 여부를 조사하기 위해서 증식기에 있는 Capan-1 세포를 PBS로 세척한 후 0.05% trypsin-0.02% EDTA로 부착된 세포를 분리하여 원심분리한 후 집적된 암세포를 골고루 분산되도록 잘 혼합하여 6 well plate에 2×10^4 cells/well의 농도로 분주하여 24시간 배양하였다. 암세포가 plate에 부착되었음을 확인한 후, 10% FBS가 있는 배지에 amiloride 20 μM 을 첨가하여 37°C, 5% CO₂ incubator에서 다시 48시간 배양하였고, 이 때에 배지를 갈아 주면서, 3 well에는 amiloride를 제거하였고, 다른 3 well에는 그대로 둔채, 제거한 날부터 2일, 4일, 6일 째에 증식된 세포를 0.05% trypsin-0.02% EDTA 효소로 분리하여 각 세포 수를 hemocytometer로 측정하였다. 그렇게 측정된 세포 수를 대조군의 세포수와 비교하여 암세포 증식 억제효과의 가역성 여부를 관찰하였다.

5. amiloride와 5-FU가 Capan-1 세포의 증식에 미치는 상호작용

amiloride와 5-FU가 Capan-1 세포의 증식에 미치는 상호작용을 알기 위해서 증식기에 있는 Capan-1 세포를 PBS로 세척한 후 0.05% trypsin-0.02% EDTA로 부착된

세포를 분리하여 원심분리한 후, 집적된 암세포를 골고루 분산되도록 잘 혼합하여 6 well plate에 10×10^4 cells/well의 농도로 분주하여 하룻밤 배양하였다. 암세포가 plate에 부착되었음을 확인한 후, 10% FBS가 있는 배지에 대조군, amiloride 10 μM , amiloride 20 μM , 5-FU 0.1 $\mu\text{g/ml}$, 5-FU 0.3 $\mu\text{g/ml}$, 5-FU 0.1 $\mu\text{g/ml}$ + amiloride 10 μM , 5-FU 0.3 $\mu\text{g/ml}$ + amiloride 10 μM , 5-FU 0.3 $\mu\text{g/ml}$ + amiloride 20 μM 의 8군으로 나누어 3 well에 첨가하고(triplicate), 37°C, 5% CO₂ incubator에서 배양하였다. 부착세포는 시료처리한 날로부터 4일 후에, 증식된 세포를 0.05% trypsin-0.02% EDTA로 분리하였다. 그렇게하여 분리된 세포들의 수를 hemocytometer로 측정하여 대조군의 세포 수와 비교하여 각 군의 암세포 증식 억제효과를 관찰하였다.

6. Flow cytometry를 이용한 세포주기 분석

amiloride가 Capan-1 세포에 있어서 cell cycle의 어느 단계를 지연시키는지를 flow cytometry를 이용하여 2회 시행, 분석하였다. amiloride 20 μM 을 첨가한 배지에서 4 일간 배양된 세포를 PBS용액으로 수세한 후, 4°C에서 30 분간 70% ethanol로 고정하였다. 고정 후 RNase A(Sigma, USA)를 넣어서 RNA를 처리하고 DNA intercalating dye인 propidium iodide(Sigma, USA)로 DNA를 염색하여 Becton Dickinson FACStar Flow Cytometer 및 Becton Dickinson Cell Fit Software를 이용하여 세포주기를 비교 분석하였다.

7. 통계학적 분석

실험 결과에 대한 분석은 일원분산분석(ANOVA)중의 Duncan's multiple range test를 이용하였으며, p값이 0.05 미만일 때 의미있는 것으로 간주하였다.

결과

1. amiloride의 Capan-1 세포 증식 억제 효과

amiloride를 1 μM 첨가 후 2일 째의 Capan-1 세포 수는 (44 ± 3)($\times 10^4$)였고, amiloride를 첨가하지 않고 0.4% DMSO만 첨가한 대조군의 경우 2일 째의 세포 수는

인체 췌장암세포주(Capan-1)의 증식에 미치는 amiloride의 억제효과

(45 ± 3) $\times 10^4$)로서 amiloride 50 μM 첨가군에서 대조군에 비하여 증식이 약간 억제되었으나 통계적인 유의성은 없었고, amiloride 1 μM 첨가 4일 째의 세포 수는 (83 ± 3) $\times 10^4$)로서 대조군의 (83 ± 4) $\times 10^4$)과 큰 차이가 없었다. 그러나 첨가된 amiloride 농도가 5 μM 인 경우, 2 일 째의 Capan-1 세포 수는 (37 ± 1) $\times 10^4$)로서 대조군의 2일 째 세포 수인 (45 ± 3) $\times 10^4$)보다 유의하게 세포 수가 감소됨으로써 2일 째부터 세포의 증식이 의미있게 억제되었고($p<0.05$), 4일째는 그 수가 (72 ± 3) $\times 10^4$)으로서 대조군의 (83 ± 4) $\times 10^4$)에 비해 현저하게 그 증식이 억제됨을 볼 수 있었다($p<0.05$).

그리고 amiloride의 농도를 10, 20, 40, 80, 160 μM 로 증가시킴에 따라 2일째와 4일째 모두 Capan-1 세포의 증식이 점점 더 많이 억제되었다. 즉, 2일째와 4일째의 Capan-1 세포 수는 10 μM 의 경우 각각 (30 ± 3 , 57 ± 2) $\times 10^4$, 20 μM 의 경우 (21 ± 2 , 42 ± 2) $\times 10^4$, 40 μM 의 경우 (14 ± 2 , 28 ± 3) $\times 10^4$, 80 μM 의 경우 (8 ± 2 , 16 ± 3) $\times 10^4$, 160 μM 의 경우 (3 ± 1 , 6 ± 1) $\times 10^4$ 로서 대조군의 (45 ± 3 , 83 ± 4) $\times 10^4$ 에 비하여 amiloride의 농도에 비례해서 유의하게 그 증식이 억제됨을 보여 주었다($p<0.05$). 특히 amiloride 160 μM 을 첨가한 후 4일 째의 세포수가 (6 ± 1) $\times 10^4$ 로서 대조군의 (83 ± 4) $\times 10^4$)에 비하여 93%의 증식억제를 보였고, 20 μM 의 농도에서는 대조군에 비해 49%의 증식억제를 보였다(Table 1, Fig. 1).

Table 1. Effects of amiloride(μM) on 2 days and 4 days treatment of Capan-1 cells

amiloride	Cell number $\times 10^4$	
	2 days	4 days
0+	45 ± 3^a	83 ± 4^a
1	44 ± 3^a	83 ± 3^a
5	37 ± 1^b	72 ± 3^b
10	30 ± 3^c	57 ± 2^c
20	21 ± 2^d	42 ± 2^d
40	14 ± 2^e	28 ± 3^e
80	8 ± 2^f	16 ± 3^f
160	3 ± 1^g	6 ± 1^g

^{a~g} Means with the different letters in the same column are significantly different($p<0.05$) by Duncan's multiple range test.

+ control group, to which only vehicle(DMSO) was added

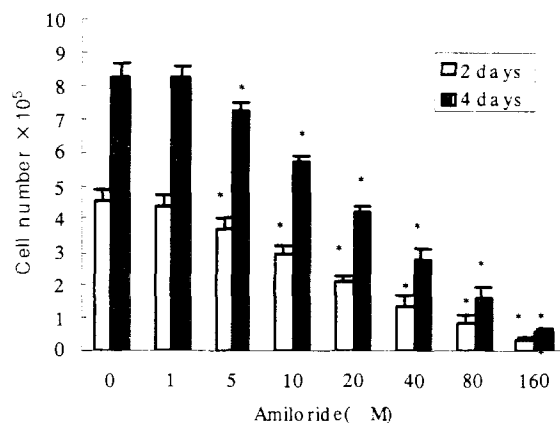


Figure 1. Effects of amiloride on 2 days and 4 days treatment of Capan-1 cells. * $p < 0.05$ vs. control

2. amiloride의 Capan-1 세포 증식억제 효과의 가역성

amiloride의 증식억제작용의 가역성을 보고자 한 실험에서, amiloride를 처음부터 첨가하지 않은 대조군과 amiloride 첨가후 4일째에 약 50%의 증식억제효과를 보인 amiloride 20 μM 을 첨가하여 48시간 동안 배양시킨 후 amiloride를 제거한 군, 그리고 amiloride 20 μM 을 첨가해서 계속 그대로 둔 군으로 나누어 관찰하여 보았을 때, 분주후 24시간 뒤에 amiloride를 첨가한 후 48시간 배양했다가 첨가한 amiloride를 제거한 날에는 제거군과 제거하지 않은 군 사이의 Capan-1세포 수는 각각 (3.5 ± 0.5) $\times 10^4$ 및 (4.5 ± 0.5) $\times 10^4$ 로서 차이가 없었고, 양 군 모두 대조군의 (8 ± 1) $\times 10^4$ 보다는 그 수가 적었으나 통계학적인 유의성은 없었다. amiloride를 제거한 지 2일 째의 제거군의 Capan-1세포 수는 (18 ± 2) $\times 10^4$ 로서 amiloride 첨가군의 (10 ± 2) $\times 10^4$ 에 비하여 상당히 많았으나 통계학적인 유의성은 없었고, 대조군의 (30 ± 2) $\times 10^4$ 보다는 현저히 적었으며($p<0.05$), amiloride 첨가군과 대조군사이에도 그 세포 수에 유의한 차이를 보였다($p<0.05$).

amiloride를 제거한 지 4일 째에 amiloride제거군의 Capan-1세포 수는 (41 ± 3) $\times 10^4$ 로서 amiloride를 제거하지 않은 군의 (30 ± 2) $\times 10^4$ 과 비슷하였고, 대조군의 (59.5 ± 3.5) $\times 10^4$ 에 비해서 유의하게 세포 수가 적음으로써($p<0.05$), 제거 2일째의 결과와 비슷하게 amiloride의 증식억제 작용이 그것을 제거한지 4일째에도 아직 어느 정도 남아 있음을 나타내었다.

그러나 amiloride를 제거한 지 6일째에는 amiloride 제거군의 Capan-1세포 수가 $(72\pm2)\times10^4$ 로서 대조군의 $(81.5\pm1.5)\times10^4$ 와 거의 비슷한 정도를 보인 반면(대조군의 90.0%, p:ns), amiloride를 제거하지 않았던 군의 $(39.5\pm3.5)\times10^4$ 보다는 훨씬 더 많음(첨가군의 175.0%)를 보여 주었다($p<0.05$). 그리고 amiloride를 제거한 군에서 amiloride를 제거한 날과 2일사이의 증식비율이 4.5배로서 대조군의 3.5배보다도 높았고, amiloride를 제거하지 않았던 군의 2.5배보다는 현저히 높았으며, 이러한 경향은 amiloride를 제거한지 4일과 6일 사이의 증식비율에서도 잘 관찰 됨으로써 amiloride의 증식 억제 작용이 가역성임을 보여 주었다.(Table 2, Fig. 2).

Table 2. Reversibility of effects of amiloride($20\mu\text{M}$) on the growth of Capan-1 cells.

	0day	2days	4days	6days	8days
Control	2	$8\pm1^{\text{a}}$	$30\pm2^{\text{a}}$	$59.5\pm3.5^{\text{a}}$	$81.5\pm1.5^{\text{a}}$
Amiloride removed [†]	2	$3.5\pm0.5^{\text{b}}$	$18\pm2^{\text{b}}$	$41.0\pm3^{\text{b}}$	$72.0\pm2^{\text{a}}$
Amiloride	2	$4.5\pm0.5^{\text{b}}$	$10\pm2^{\text{b}}$	$30.0\pm2^{\text{b}}$	$39.5\pm3.5^{\text{b}}$

* amiloride treatment for 48 hours followed by replacement with amiloride-free medium.

^{a~c} Means with the different letters in the same column are significantly different($p<0.05$) by Duncan's multiple range test.

[†] growth ratio

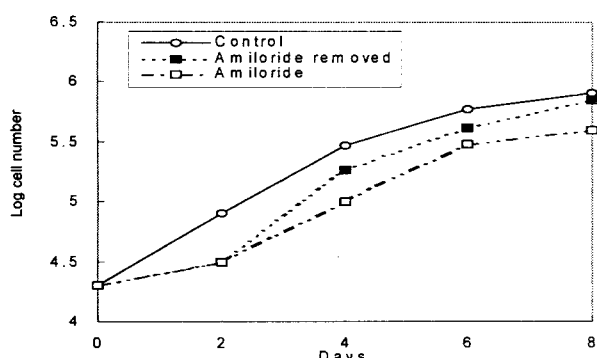


Figure 2. Reversibility of effects of amiloride($20\mu\text{M}$) on the growth of Capan-1 cells.

Open circles=control group; closed squares=amiloride treatment for 48 h followed by replacement with amiloride-free medium; open squares=continuous amiloride

treatment.

3. amiloride와 5-FU가 Capan-1 세포의 증식에 미치는 상호작용

Table 3에서 보는 바와 같이 배양 4일째의 대조군의 Capan-1세포 수는 $(82\pm5)\times10^4$ 였고, amiloride $10\mu\text{M}$ 첨가군 및 amiloride $20\mu\text{M}$ 첨가군의 세포수는 각각 $(56\pm2)\times10^4$ 및 $(47\pm2)\times10^4$ 로서 양군 모두 대조군과 유의한 차를 보였다($p<0.05$). 5-FU $0.1\mu\text{g}/\text{ml}$ 를 첨가한 군 및 5-FU를 $0.3\mu\text{g}/\text{ml}$ 를 첨가한 군의 세포 수는 $(73\pm2)\times10^4$ 및 $(64\pm2)\times10^4$ 로서 양군 모두 대조군의 $(82\pm5)\times10^4$ 과 유의한 차이를 보였고($p<0.05$), 양군 사이에도 그 세포 수의 유의한 차이가 있었다($p<0.05$). 그리고 amiloride $10\mu\text{M}$ 첨가군 및 amiloride $20\mu\text{M}$ 첨가군의 세포수는 양군 모두 5-FU $0.1\mu\text{g}/\text{ml}$ 를 첨가한 군 및 5-FU를 $0.3\mu\text{g}/\text{ml}$ 를 첨가한 군의 세포 수보다 유의하게 적었다($p<0.05$).

그리고 5-FU의 증식억제 작용에 미치는 amiloride의 영향을 살펴 보면, 5-FU $0.1\mu\text{g}/\text{ml}$ 과 amiloride $10\mu\text{M}$ 을 병용 첨가한 군의 Capan-1세포 수는 $(43\pm3)\times10^4$ 로서 5-FU $0.1\mu\text{g}/\text{ml}$ 만을 첨가한 군의 $(73\pm2)\times10^4$ 이나 amiloride $10\mu\text{M}$ 단독 첨가군의 $(56\pm2)\times10^4$ 에 비하여 세포 수가 유의하게 적었다($p<0.05$). 이로써 5-FU $0.1\mu\text{g}/\text{ml}$ 나 amiloride $10\mu\text{M}$ 단독에 의한 Capan-1세포에 대한 증식억제효과보다 두 약제를 병용했을 때에 그 효과가 더 큼을 알 수 있었다(Fig. 3).

Table 3. Effects of amiloride(μM) and/or 5-fluorouracil($\mu\text{g}/\text{ml}$) on 4 days treatment of Capan-1 cells.

	Cell number $\times 10^4$	Inhibition rate (%) [†]
Control	$82\pm5^{\text{a}}$	
Amiloride 10	$56\pm2^{\text{d}}$	31.8
Amiloride 20	$47\pm2^{\text{e}}$	42.7
5FU 0.1	$73\pm2^{\text{b}}$	11.0
5FU 0.3	$64\pm2^{\text{c}}$	22.0
5FU 0.1 + Amiloride 10	$43\pm3^{\text{e}}$	47.6
5FU 0.3 + Amiloride 10	$33\pm3^{\text{f}}$	59.8
5FU 0.3 + Amiloride 20	$22\pm3^{\text{g}}$	73.2

^{a~g} Means with the different letters are significantly different($p<0.05$) by Duncan's multiple range test.

[†] Inhibition rate compared to control group

인체 체장암세포주(Capan-1)의 증식에 미치는 amiloride의 억제효과

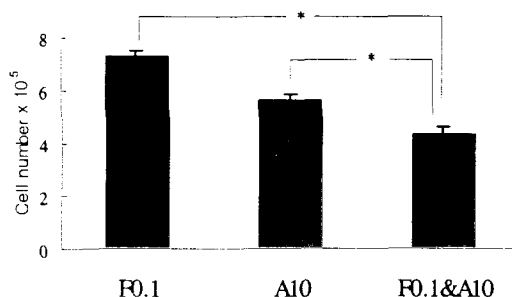
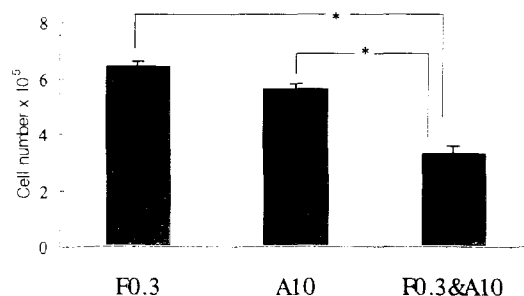


Figure 3. Effects of amiloride(μM) and/or 5-FU($\mu g/ml$) on 4 days treatment of Capan-1 cells. * $p < 0.05$

F: treatment with 5-FU A: treatment with amiloride
F & A: treatment with 5-FU & amiloride

한편 5-FU 0.3 $\mu g/ml$ 과 amiloride 10 μM 의 병용첨가군의 세포 수는 $(33\pm3)\times 10^4$ 로서 5-FU 0.3 $\mu g/ml$ 만을 첨가한 군의 $(64\pm2)\times 10^4$ 이나 amiloride 10 μM 단독 첨가군의 $(56\pm2)\times 10^4$ 에 비하여 세포 수가 현저하게 적었다 ($p<0.05$)(Fig.4).

Figure 4. Effects of amiloride(μM) and/or 5-FU($\mu g/ml$) on 4 days treatment of Capan-1 cells. * $p < 0.05$



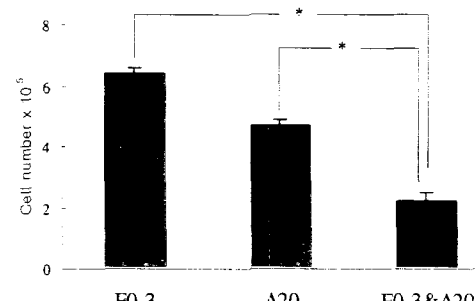
F: treatment with 5-FU A: treatment with amiloride
F & A: treatment with 5-FU & amiloride

이러한 경향은 amiloride의 농도를 높여 5-FU 0.3 $\mu g/ml$ 과 amiloride 20 μM 을 병용 첨가했을 때에 더 뚜렷해져서 그 세포 수가 $(22\pm3)\times 10^4$ 으로서, 5-FU 0.3 $\mu g/ml$ 단독첨가군의 세포 수 $(64\pm2)\times 10^4$ 나 amiloride 20 μM 단독첨가군의 $(47\pm2)\times 10^4$ 보다 현저하게 낮음을 볼 수 있었다. ($p<0.05$)(Fig.5).

그리고 5-FU 0.1 $\mu g/ml$ 과 amiloride 10 μM 을 병용 첨가한 군에서는 대조군에 비해서 47.6%의 증식억제률을 보여, 5-FU 0.1 $\mu g/ml$ 단독첨가군과 amiloride 10 μM 단독 첨가군의 증식억제율을 합한 율($11.0+31.8=42.8\%$)과 유

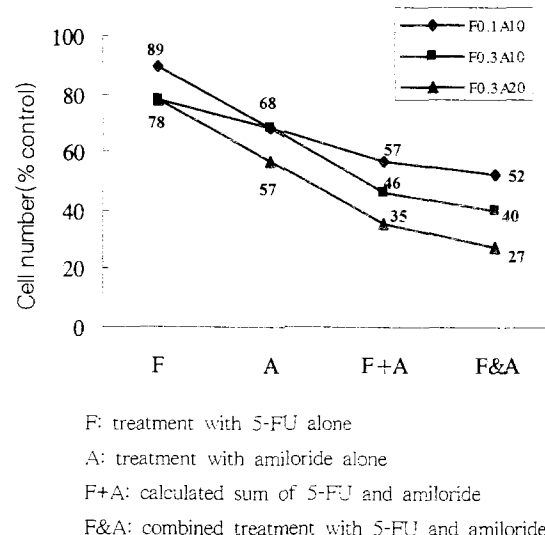
사한 정도를 나타냄으로, 두 약물이 상가작용을 가지고 있음을 시사하였다. 그리고 이러한 경향은 5-FU 0.3 $\mu g/ml$ 과 amiloride 10 μM 을 병용 첨가군에서 대조군에 비해서 59.8%의 증식억제률을 보여, 5-FU 0.3 $\mu g/ml$ 단독첨가군과 amiloride 10 μM 단독첨가군의 증식억제율을 합한 율($22.0+31.8=53.9\%$)과 유사한 정도를 나타낸 성적과, 5-FU 0.3 $\mu g/ml$ 과 amiloride 20 μM 을 병용 첨가군에서 대조군에 비해서 73.2%의 증식억제률을 보여, 5-FU 0.3 $\mu g/ml$ 단독첨가군과 amiloride 20 μM 단독첨가군의 증식억제율을 합한 율($22.0+42.7=64.7\%$)과 유사한 정도를 나타내었던 결과에서 더욱 뚜렷하였다(Fig. 6).

Figure 5. Effects of amiloride(μM) and/or 5-FU($\mu g/ml$) on 4 days treatment of Capan-1 cells. * $p < 0.05$



F: treatment with 5-FU A: treatment with amiloride
F & A: treatment with 5-FU & amiloride

Figure 6. The effects of amiloride(μM) and/or 5-FU($\mu g/ml$) on 4 days treatment of Capan-1 cells suggesting additive effect of the two.



4. Flow cytometry를 이용한 cell cycle analysis

amiloride 20 μM를 첨가한 배지에서 4일간 배양시킨 군과 amiloride 첨가없이 배양시킨 대조군의 체장암세포를 이용하여 세포주기 측정을 하였는데, 대조군의 경우 G0-G1기가 44.3%, S기는 37.1%, G2-M기는 18.6%였고, amiloride 20 μM 첨가군에서는 G0-G1기가 47.3%, S기는 35.8%, G2-M기가 16.9%로서 양군 사이에 큰 차이가 없었다(Table 4).

Table 4. Effects of amiloride on cell cycle distribution in Capan cells after 4 days of incubation at 37°C

Sample(μM)	% of cells		
	G0/G1	S	G2/M
Control	44.3	37.1	18.6
Amiloride(20)	47.3	35.8	16.9

고찰

고형암은 혈액 공급이 충분하지 않아 저산소혈증에 노출된 부분이 있으며¹³⁾, 이 부위는 정상 조직에 비하여 산성을 띠게 된다고 하며 정상조직의 세포의 pH가 7.1에서 7.6정도인데 반하여 암조직의 세포의 pH는 6.5에서 7.0으로 측정되었다.¹⁴⁾ 그리고 P-NMR-spectroscopy로 측정한 세포내 pH는 정상조직과 암조직간에 차이가 없었다.¹⁵⁾ 이러한 정상조직과 암조직간의 산도의 차이는 암조직에만 선별적으로 작용하는 치료법의 가능성을 제공한다고 할 수 있는데⁶⁾, 산도가 높은 환경에서 세포내 pH를 조절하는데 관여한다고 알려진 두 가지 중요한 exchangers인 stilbene-sensitive Na⁺ dependent HCO₃⁻/Cl⁻ exchanger¹⁶⁾와 amiloride-sensitive Na⁺/H⁺ antiporter¹⁷⁾ 중 후자인 Na⁺/H⁺ antiporter는 대부분의 동물세포에서 1:1로 세포내 H⁺와 세포외 Na⁺를 교환시킨다고 한다.

여러 포유류 동물의 세포막에 존재하는 Na⁺/H⁺ antiporter는 세포외의 Na⁺이온을 세포내의 H⁺이온과 교환해서 이동시킴으로써 세포내의 산도를 알카리성으로 유지하는 역할을 한다.¹⁸⁾ 이렇게 Na⁺/H⁺ antiporter의 작용으로 이루어지는 세포내의 알카리화는 실험실에서 배양되는 섬유아세포 증식의 초기 단계에서 그 증식을 유발하는데 아주 중요한 역할을 담당하는 것으로 알려져

있다³⁻⁵⁾. 그리고 이 Na⁺/H⁺ antiporter는 insulin, EGF, phorbol ester 등 여러 가지 세포증식인자들의 투여로 즉각적으로 활성화되어 세포질의 알칼리화를 초래하여 세포 성장과 증식을 유발시키며^{19,20)}, 실험실에서 배양된 섬유아세포에 있어서 amiloride 및 이와 동일한 기전을 가진 다른 약물들에 의해서 Na⁺/H⁺ antiporter가 불활성화되면 그 증식이 억제된다.³⁻⁵⁾ 그리고 Rotin 등²¹⁾은 Na⁺/H⁺ antiporter가 없는 변이된 인체 방광암세포주 MGH-U1이 면역이 결핍된 쥐에서 종양을 형성하지 못했다고 하였는데, 이는 종양의 성장에 Na⁺/H⁺ antiporter가 중요함을 의미한다고 할 수 있겠다. 최근 Rich 등²²⁾은 leukemia세포가 가장 강력한 amiloride의 유사체인 5-(N,N-hexamethylene)-amiloride(HMA)투여에 따른 Na⁺/H⁺ antiporter의 억제로 인해서 세포의 자연사가 일어난다고 보고하면서 amiloride와 그 유사체들^{5,23,24)}이 백혈병의 치료제로 유용할 것이라고 보고하였다. 따라서 이러한 Na⁺/H⁺ antiporter를 억제하는 것으로 알려진 amiloride와 그 유사체들은 여러 종류의 암의 치료제로서의 가능성을 충분히 지니고 있다.⁶⁾

지속적인 이뇨작용에 따른 K⁺ 이온의 소실을 막아주는 이뇨제 amiloride는 1967년 Cragoe 등²³⁾에 의하여 처음으로 합성되었고, 신세뇨관 상피세포의 나트륨통로를 가역적으로 차단시킴으로써 이뇨 효과를 나타내게 된다고 알려져 있으며,²⁵⁾ amiloride에 감수성이 있는 나트륨통로는 신세뇨관 뿐만 아니라 신피질 집합세뇨관²⁴⁾과 신수질부와 신유두부의 집합세뇨관^{27,28)}, 그리고 방광²⁹⁾과 원위부 대장, 기관, 림샘관³⁰⁾에도 존재한다. 약물역동학적 연구에 의하면 amiloride가 세포외부의 Na⁺의 유입을 경쟁적으로 억제함으로써 Na⁺/H⁺ antiporter의 작용을 억제한다고 하며³¹⁾, 생리적인 Na⁺ 농도에서는 amiloride 0.1-1 mM의 농도에서 Na⁺/H⁺ antiporter를 억제하는데³²⁾ 이러한 억제는 즉각 나타났다가 약제 제거 시 빨리 사라진다고 하였다.¹⁸⁾ 그리고 최근에는 amiloride 유사체인 DMA (5-(N,N-dimethyl)amiloride), MIBA (5-(N-methyl-N-isobutyl)amiloride), EIPA (5-(N-ethyl-N-isopropyl)amiloride) 및 5-(N,N-hexamethylene)-amiloride(HMA)등이 개발되었는데, Na⁺/H⁺ exchanger 억제도가 amiloride에 비하여 각각 DMA는 20배, MIBA는 100배, EIPA는 200배, HMA는 500배 더 높

인체 췌장암세포주(Capan-1)의 증식에 미치는 amiloride의 억제효과

다.³³⁾

본 연구에서 amiloride를 투여한 군에서 amiloride 대신 DMSO를 첨가했던 대조군에 비하여 Capan-1세포의 증식이 억제되었으며, 그 효과는 5 μ M의 농도에서 처음 나타났고 10~160 μ M로 증가함에 따라서 더욱 더 현저해졌다. 이러한 결과는 췌장암에 대한 amiloride의 증식억제 효과를 처음으로 실험실에서 입증한 것으로서, 인체 대장암세포(HT-29)를 이용한 이전의 Koo 등^{7,8)}의 연구에 뒤이어 다른 소화기암에서의 amiloride의 증식억제효과를 확인한 것이라고 하겠다.

본 연구에서 amiloride의 증식억제 효과의 기전으로서는 amiloride의 농도가 50 μ M에서 800 μ M사이에서 Na^+/H^+ antiporter를 억제한 이전의 보고³²⁾로 미루어 생각해 볼 때, Na^+/H^+ antiporter의 억제 가능성을 생각할 수 있다. 그러나 amiloride의 경우 이러한 농도에서 단백질 합성을 저해하거나³⁴⁾ 여러 종류의 protein kinases^{35,36)}나, Na^+/K^+ ATPase³²⁾의 활성을 저하시키는 것으로 알려져 있으므로, 이들에 대한 앞으로의 연구도 필요할 것으로 생각되었다. 그리고 본 연구에서 amiloride가 Capan-1 세포의 증식을 억제했던 최소농도는 5 μ M로서 Koo 등^{7,8)}이 대장암에서 보고한 amiloride의 최소 유효농도였던 50 μ M보다 훨씬 낮았는데, 그 원인으로서는 각 암세포에 따라 Na^+/H^+ antiporter의 활성정도가 다른 점을 생각할 수 있으며^{30,37)}, 실제 췌장선와세포인 AR42J세포는 Na^+/H^+ antiporter를 지니고 여러 외부로부터의 신호에 대해서 Na^+/H^+ antiporter를 활성화시키는 것으로 알려져 있으며³⁸⁾, 이로 미루어 볼 때에 췌장암의 증식도 이러한 Na^+/H^+ antiporter의 활성화와 밀접한 관련이 있을 것으로 생각되며, 이는 간암세포주에서도 보고되고 있다.³⁷⁾

그리고 본 연구에서의 amiloride의 세포증식 억제효과는 amiloride를 48시간 투여 후 제거하였을 때에 48시간 경과 후 억제 효과가 서서히 없어지는 것으로 나타남으로써 그 증식억제효과의 가역성을 시사하였는데, 이러한 amiloride 효과의 가역성은 이전의 보고들과도 일치된다.^{7,8,39)} 그리고 이러한 가역성은 amiloride가 가지는 Na^+/H^+ antiporter에 대한 억제 작용이 가역성인 점³⁰⁾과 상통하는 소견으로서 amiloride의 작용기전이 비특이적 이거나 세포독성에 기인하는 것은 아니라는 것을 의미

한다고 할 수 있겠다.

5-FU는 1957년에 처음으로 합성되었으며⁴⁰⁾ 세포핵내에서 대사되어 thymidylate synthase의 기능을 억제하여 DNA합성을 저해시키거나, RNA에 결합하여 RNA의 기능을 방해하여 세포독성을 나타낸다.⁴¹⁾ 인체 위암세포주를 이용한 연구에서 5-FU 단독 보다는 recombinant human interleukin-2 와 recombinant human tumor necrosis factor와의 병용 요법시 항암효과가 더 낫다고 하였으며⁴²⁾, nucleoside운반 억제제인 dipyridamole과 5-FU를 병용하여 인체대장암세포주인 HCT116에 투여하였을 때 5-FU의 항암작용을 농도에 비례하여 증가시켰다.⁴³⁾

본 연구에서 5-FU와 amiloride의 병용 투여는 Capan-1 세포의 성장을 상가적으로 억제하는 경향을 보였는데 이러한 결과는 amiloride가 세포성장주기의 비교적 초기에 작용하는 Na^+/H^+ antiporter의 작용을 저해하고, 5-FU는 세포성장 주기의 중기(DNA 합성기)에 작용하는 약물임을 감안한다면 어느 정도 수긍할 수 있겠다. 본 연구에서 amiloride가 췌장암의 항암치료제로 가장 효과가 좋은 5-FU와 이러한 상가작용을 보이는 것은 실제로 임상에서 두 가지 약물을 병용 치료함으로써 5-FU의 항암작용을 증강시킬 수 있는 가능성을 제시하였다. 따라서 본 연구에서 사용한 amiloride의 농도 5~160 μ M이 실제 amiloride가 임상에서 사용될 때 사람에서의 혈중 농도의 25~320배가 된다는 보고⁴⁴⁾도 있음을 감안할 때에 본 연구에서 사용한 농도보다 더 낮은 농도(예를 들면, 0.1~0.2 μ M)에서 5-FU와의 병용효과를 검토하는 일이 필요하며, 또한 Na^+/H^+ antiporter 억제능이 amiloride 보다 20 배에서 500배정도 더 높은 amiloride 유사체들³³⁾을 사용하여 5-FU와의 병용효과를 조사함으로써 임상에서의 사용 가능성에 대해 더 검토하는 것이 필요하다고 생각되었다.

본 연구에서 amiloride 20 μ M 첨가 유무에 따른 Capan-1세포의 세포주기 측정결과는 대조군의 경우 G0-G1기가 44.3%, S기는 37.1%, G2-M기는 18.6%였고, amiloride 20 μ M 첨가군에서는 G0-G1기가 47.3%, S기는 35.8%, G2-M기가 16.9%로서 양군 사이에 큰 차이가 없었다. Panet 등³⁹⁾은 amiloride 1.0 mM이 혈청에 의해서 일어나는 Balb/3T3 세포의 DNA 합성을 부분적으로 억제할 뿐 만아니라, Na^+/K^+ cotransporter 저해제인

bumetanide를 병용 투여하였을 경우 G1기에서 S기로의 진행을 완전히 차단하였다고 하며, bumetanide를 단독투여하는 경우 DNA합성을 약간 감소시킨다고 하였다. 또한 Koo 등^{7,8)}은 인 대장암세포(HT-29)를 이용한 연구에서 amiloride 투여군에서 ornithine decarboxylase(ODC)활성도 및 polyamine uptake가 유의하게 억제되었다고 하였는데 ODC의 활성화는 mid-G1기의 표지자로서 알려져 있으므로⁴⁵⁾ amiloride에 sensitive한 Na⁺/H⁺antiporter 활성화가 G1기에서 다음 세포주기로 진행하는데 있어서 중요한 역할을 할 수 있음을 시사하였다. 따라서 세포주기의 분포가 대조군과 amiloride군과의 차이가 없었던 본 연구에서의 성적에 대해서는 추후 더 자세한 검토가 이루어져야 할 것으로 생각되었다.

결 론

이상의 결과에서, amiloride가 농도에 비례하여 인체췌장암세포의 증식을 억제하였고, 그 증식억제 효과는 가역성임을 나타내었으며, 이로써 amiloride가 비특이적인 세포독이 아님을 알 수 있었다. 그리고 amiloride와 기존의 항암제인 5-FU를 병용 투여하였을 경우 amiloride나 5-FU 단독 투여군에 비하여 현저한 증식억제를 보였으며 농도에 비례하여 상가효과가 있음을 시사하였다. 이로써 본 연구에서 처음으로 amiloride가 단독 혹은 5-FU와 같이 췌장암의 치료제로서 사용될 수 있는 가능성을 보여 주었으며, 앞으로 본 연구에서 사용된 용량보다 훨씬 더 낮은 농도에서 5-FU와의 병용효과를 검토하는 것이 중요하다고 할 수 있겠다. 또한 향후 Na⁺/H⁺antiporter 억제능이 amiloride 보다 20배에서 500배정도 더 높은 amiloride 유사체들에 대한 연구를 더 깊이 진행하여 실제 췌장암환자에서 효과가 좋으면서도 부작용은 항암제보다 적은 치료제로서의 가능성에 대해서도 더 연구해야 할 것으로 생각되었다.

참고문헌

- Sakorafas GH, Tsiotou AG, Tsiotos GG: Molecular biology of pancreatic cancer;oncogenes, tumor suppressor genes, growth factors, and their receptors from clinical perspective. *Cancer Treat Rev* 26:29-52, 2000
- Sparks RL, Pool TB, Smith NKR, Cameron IL: Effects of amiloride on tumor growth and intracellular element content of tumor cells in vivo. *Cancer Res* 43: 73-77, 1983
- Rozengurt E, Mendoza S: Monovalent ion fluxes and the control of cell proliferation in cultured fibroblasts. *Ann NY Acad Sci* 339: 175-190, 1980
- Moolenaar WH, Yarden Y, de Laat SW and Schlessinger J: Epidermal growth factor induces electrically silent Na⁺ influx in human fibroblast. *J Biol Chem* 257: 8502-8506, 1982
- L'Alleman G, Franchi A, Cragoe E Jr, Pouyssegur J: Blockade of the Na⁺/H⁺ antiport abolish growth factor-induced DNA synthesis in fibroblasts. *J Biol Chem* 259(7): 4313-4319, 1984
- Tannock IF, Rotin D: Acid pH in tumours and its potential for therapeutic exploration. *Cancer Res* 49: 4373-4384, 1989
- Koo JY, Saydari JR, Parekh D, Evers BM, Farre A, Townsend CM, Thompson JC: Amiloride inhibits the growth of human colon cancer cells(HT-29). *Gastroenterology* 98: A290, 1990
- Koo JY, Parekh D, Townsend CM, Saydari JR, Evers BM, Farre A, Ishizuka J, Thompson JC: Amiloride inhibits the growth of human colon cancer cells in vitro. *Surg Oncol* 1: 385-389, 1992
- Delvaux M, Bastie MJ, Chentoufi J, Cragoe EJ, Vaysse JN, Ribet A: Amiloride and analogues inhibit Na-H⁺ exchange and cell proliferation in AR42J pancreatic cell line. *Am J Physiol* 259: G842- G849, 1990
- Tatsuta M, Iishi H, Baba M, Yano H, Iseki K, Uehara H, Nakaizumi A: Inhibition by amiloride of experimental carcinogenesis induced by azaserine in rat pancreas. *Cancer Lett* 106: 23-28, 1996
- Evans DM, Sloan-Stakleff K, Arvan M, Guyton DP: Time and dose dependency of suppression of pulmonary metastases of rat mammary cancer by amiloride. *Clinic Experi Metas* 16: 353-357, 1998
- Ray P, Bhatti R, Gadarowski J, Bell N, Nasrullah S: Inhibitory effect of amiloride on the urokinase plasminogen activators in prostatic cancer. *Tumour Biol* 19:60-64, 1998
- Vaupel P, Kallinowski F, Okunieff P: Blood flow, oxygen and nutrient supply, and metabolic microenvironment of human tumors: a review. *Cancer Res* 49: 6449-6465, 1989
- Wike-Hooley JL, Haveman J, Reinhold JS: The relevance of tumour pH to the treatment of malignant disease. *Radiother Oncol* 2: 343-366, 1984
- Daly PF, Cohen JS: Magnetic resonance spectroscopy of tumors and potential in vivo clinical applications: a review. *Cancer Res* 49: 770-779, 1989
- Cassel D, Scharf O, Rotman M, Cragoe Jr EJ, Katz M: Charaterization of Na⁺-linked and Na⁺-independent HCO₃⁻/Cl⁻ exchange in Chinese hamster lung

인체 혀장암세포주(Capan-1)의 증식에 미치는 amiloride의 억제효과

- fibroblasts. *J Biol Chem* 263: 6122-6127, 1988
17. Grinstein S, Rotin D, Mason MJ: Na^+/H^+ exchange and growth factor-induced cytosolic changes. Role in cellular proliferation. *Biochem Biophys Acta* 988: 73-97, 1989
18. Mähnensmith RL, Aronson PS: The plasma membrane sodium-hydrogen exchanger and its role in physiological and pathophysiological process. *Circ res* 56: 773-788, 1985
19. Grinstein S, Rothstein A: Mechanism of regulation of the Na^+/H^+ exchanger. *J Membr Biol* 90: 1-12, 1986
20. Seifter JL, Aronson PS: Properties and physiological role of the plasma membrane sodium-hydrogen exchanger. *J Clin Invest* 78: 859-864, 1986
21. tin D, Steele-Norwood D, Grinstein S, Tannock L: Requirement of the Na^+/H^+ exchanger for tumor growth. *Cancer Res* 49: 205-211, 1989
22. Rich IN, Diana WW, Garden OA, Musk P: Apoptosis of leukemic cells accompanies reduction in intracellular pH after targeted inhibition of Na^+/H^+ anger. *Blood* 95: 1427-1434, 2000
23. Cragoe EJ Jr, Woltorsdorf OW, Bicking JB: Pyrazine diuretics. II.
24. N-amidino-3-amino-5-substituted-halopyrazinecarboxamides. *J Med Chem* 10: 66-75, 1967
25. Kleyman R, Cragoe Jr EJ: amiloride and its analogues as tools in the study of ion transport. *J Membrane Biol* 105: 1-21, 1988
26. Bentley PJ: amiloride: A potent inhibitor of sodium transport across the toad bladder. *J Physiol* 195: 317-330, 1968
27. Gross JB, Imai M, Kokko JP: A functional comparision of the cortical collecting tubule and the distal convoluted tubule. *J. Clin Invest* 55: 1284-1294, 1975
28. Koeppen BM: Conductive properties of the rabbit outer medullary collec duct: Inner stripe. *Am J Physiol* 248(Renal Fluid Electrolyte Physiol 17): F500-F506, 1985
29. Koeppen BM: Conductive properties of the rabbit outer medullary collecting duct: Outer stripe. *Am J Physiol* 250(Renal Fluid Electrolyte Physiol 19): F70-F76, 1986
30. Lewis SA, Diamond JM: Na^+ transport by rabbit urinary bladder, a tight epithelium. *J Membrane Biol* 28: 1-40, 1976
31. Kleyman R, Cragoe Jr EJ: The mechanism of action of amiloride. *Sem Nephrol* 8: 242-248, 1988
32. Paris S, Pouyssegur J: Biochemical characterization of the amiloride-sensitive Na^+/H^+ antiporter in Chinese hamster lung fibroblasts. *J Biol Chem* 258: 3503-3508, 1983
33. Zhuang Y, Cragoe EJ Jr, Saikowitz T: Charaterization of potent Na^+/H^+ exchange inhibitors from the amiloride series in A431 cells. *Biochemistry* 23: 4481-4488, 1984
34. Maidorn RP, Cragoe Jr EJ, Tannock IF: Therapeutic potential of analogues of amiloride: inhibition of intracellular pH as a possible mechanism of tumour selective therapy. *Br J Cancer* 67: 297-303, 1993
35. Lubin M, Cahn F, Coutermash BA: amiloride, protein synthesis, and activation of quiescent cells. *J Cell Physiol* 113: 247-251, 198221.
36. Davis RJ, Czech MP: amiloride directly inhibits growth factor receptor tyrosine kinase activity. *J Bio Chem* 260:2543-2551, 1985
37. Besterman JM, May Jr WS, LeVine III H, Cragoe Jr EJ, Cutrecasas P: amiloride inhibits phorbol ester-stimulated Na^+/H^+ exchange and protein kinase C. An amiloride analog selectively inhibits Na^+/H^+ exchange. *J Biol Vhem* 260:1155-1159, 1985
38. Strazzabosco M, Poci C, Spirli C, Zsembery A, Granato A, Massimino ML, Crepaldi G: Intracellular pH regulation in Hep G2 cells: effects of epidermal growth gactoe, transforming growth factor- α an ainsulinlike growth factor-II on Na^+/H^+ exchange activity. *Hepatol* 22: 588-597, 1995
39. Bastie MJ, Williams JA: Gastrointestinal peptides activate Na^+/H^+ exchanger in AR42J cells by increasing its affinity for intracellular H^+ . *Am J Physiol* 259: G958-G966, 1990
40. Panet R, Snyder D, Atlan H: Amiloride added together with bumetanide completely blocks mouse 3T3-cell exit from G0/G1-phase and entry into S-phase. *Biochem J* 239:745-750, 1986
41. Heidelberger C, Chaudhuari NK, Danebergj P: Fluorinated pyrimidines. A new class of tumor inhibitory compounds. *Nature* 179: 663, 1957
42. Bruce AC, Dan LL: Cancer chemotherapy and biotherapy. 2nd edition: 149-211, 1996
43. Li Y, Ito S, Cheng W, Ishii Y: Combined effect of 5-fluorouracil and recombinant tumor necrosis factor against human gastric carcinoma cell lines. *Anticancer Res* 16:1771-1774, 1996
44. Jean LG: Biochemical modulation of fluorouracil by dipyridamole: preclinical and clinical experience. *Seminars in Oncology* 19: 56-65, 1992
45. Kleyman R, Cragoe Jr EJ: The mechanism of action of amiloride. *Sem Nephrol* 8: 242-248, 1988
46. Haddox MK, Magun BE, Russell DH: Ornithine decarboxylase induction during G1 progression of normal and rous sarcoma virus transformed cells. *Cancer Res* 40: 604-608, 198045.